

FORMULA DI TAYLOR PER FUNZIONI DI PIÙ VARIABILI

Sia $f: \Omega \subset \mathbb{R}^2 \rightarrow \mathbb{R}$, Ω aperto, una funzione di due variabili ~~e sia~~ ~~D_xf e D_yf~~

Indichiamo, in analogia a quanto si fa in una variabile, con

D_x e D_y

gli operatori di derivate parziali, ~~che~~ che egiscono per esempio nei spazi di funzione

$$D_y, D_x: C^1(\Omega) \rightarrow C(\Omega)$$

e che ad ogni funzione f associano le loro derivate parziali.

Notiamo che si tratta di operatori lineari:

$$D_x(f+g) = D_x f + D_x g \quad \forall f, g \in C^1(\Omega)$$

$$D_x(kf) = k D_x f \quad \forall k \in \mathbb{R}, \forall f \in C^1(\Omega),$$

~~con~~ Più in generale, se consideriamo $C^n(\Omega)$, $n \geq 2$, ~~se~~ $\forall h, k \in \mathbb{R}$ è possibile considerare l'operatore

$hD_x + kD_y$ e, tenuto conto del teorema di Schwartz (ossia ricordando che $D_y D_x = D_x D_y$), si ha

$$\begin{aligned}
 (hD_x + kD_y)^2 f &= (hD_x + kD_y)(hD_x f + kD_y f) = \\
 &= hD_x(hD_x f + kD_y f) + kD_y(hD_x f + kD_y f) = \\
 &= h^2 D_x^2 f + 2hk D_x D_y f + k^2 D_y^2 f
 \end{aligned}$$

ossia si comportano come i termini di un binomio.
Pertanto,

$$(hD_x + kD_y)^m f = \sum_{j=0}^m \binom{m}{j} h^j k^{m-j} D_x^j D_y^{m-j} f,$$

dove $m \leq n$.

Tale oggetto, valutato in (\bar{x}, \bar{y}) , viene detto differenziale di ordine m di f nel punto (\bar{x}, \bar{y}) .

TEOREMA (Formule di Taylor per funzioni di più variabili)

Sia $f: \Omega \subset \mathbb{R}^2 \rightarrow \mathbb{R}$, Ω aperto, $f \in C^n(\Omega)$.

Supponiamo che $(\bar{x} + th, \bar{y} + tk) \in \Omega \quad \forall t \in [0, 1]$
Allora $\exists \theta \in (0, 1)$ t.c.

$$\begin{aligned}
 f(\bar{x} + h, \bar{y} + k) &= f(\bar{x}, \bar{y}) + (hD_x + kD_y) f(\bar{x}, \bar{y}) + \\
 &+ \frac{1}{2!} (hD_x + kD_y)^2 f(\bar{x}, \bar{y}) + \dots + \frac{1}{(n-1)!} (hD_x + kD_y)^{n-1} f(\bar{x}, \bar{y}) + \\
 &+ \frac{1}{n!} (hD_x + kD_y)^n f(\bar{x} + nh, \bar{y} + nk)
 \end{aligned}$$

Dimostrazione

Sia $\sigma(t) = (\bar{x} + th, \bar{y} + tk)$, $t \in [0, 1]$, il segmento che congiunge (\bar{x}, \bar{y}) con $(\bar{x} + h, \bar{y} + k)$.
Consideriamo

$$F(t) = f(\sigma(t))$$

Risulta $F \in C^n([0, 1])$ e si ha
~~risulta~~

$$\begin{aligned} \frac{d}{dt} F(t) &= h f_x(\sigma(t)) + k f_y(\sigma(t)) = \cancel{\langle \nabla f(\sigma(t)), (h, k) \rangle} \\ &= (h D_x + k D_y) f(\sigma(t)), \end{aligned}$$

$$\frac{d^m}{dt^m} F(t) = (h D_x + k D_y)^m f(\sigma(t)).$$

D'altra parte, ~~dipende da~~ ~~come funzione di~~
essendo $F \in C^n([0, 1])$, per essa è possibile ~~scrivere~~ scrivere
le formule di Taylor in una variabile, in particolare

centrata in $t_0 = 0$ e detta in $t_1 = 1$:

$$F(1) = F(0) + F'(0) + \frac{F''(0)}{2!} + \dots + \frac{F^{(n-1)}(0)}{(n-1)!} + \frac{F^{(n)}(\eta)}{n!}$$

da cui sostituendo le formule di Taylor cercate,

$$f(\bar{x} + h, \bar{y} + k) = \dots$$

~~■~~

MASSIMI E MINIMI DI FUNZIONI DI DUE VARIABILI

Per prima cosa ricordiamo che

LEMMA:

Condizione necessaria affinché una funzione $f: \mathcal{S} \subset \mathbb{R}^2 \rightarrow \mathbb{R}$, \mathcal{S} aperto, $f \in C^1(\mathcal{S})$, abbia un massimo o un minimo locale in $(\bar{x}, \bar{y}) \in \mathcal{S}$ è che $\nabla f(\bar{x}, \bar{y}) = 0$.

Tale condizione non è però sufficiente (punti di sella). Facciamo alcuni esempi e controesempi:

ESEMPIO

$f(x, y) = x^2 + y^2$ presenta nell'origine un minimo assoluto e quindi unico locale. In tale punto è $\nabla f = 0$.

CONTRO ESEMPIO

$f(x, y) = x^2 - y^2$ ~~presente nell'origine~~ Per tale funzione risulta ancora $\nabla f(0, 0) = 0$. Tuttavia per tale funzione nell'origine non vi è né un punto di massimo, né di minimo: se si restringe la funzione lungo la retta $y=0$, nell'origine vi è un punto di minimo; se le si restringe lungo la retta $x=0$, nell'origine vi è un punto di massimo. Dicono in tal caso che la ~~funzione~~ presente nell'origine un punto di sella.

Al fine di ~~stabilire~~ ottenere una condizione sufficiente, premettiamo lo studio delle forme quadratiche il cui vede belli.

FORME QUADRATICHE IN DUE VARIABILI

Una forma quadratica in due variabili ha l'espressione

$$h(x,y) = ax^2 + 2bxy + cy^2 = \begin{pmatrix} x & y \end{pmatrix} \begin{pmatrix} a & b \\ b & c \end{pmatrix} \begin{pmatrix} x \\ y \end{pmatrix}$$

Si noti che una forma quadratica ha le proprietà di essere zero in zero e di avere ~~uno~~ lo stesso segno su tutti i punti di ogni retta passante per l'origine, visto che

$$h(tx, ty) = t^2 h(x, y).$$

Tenuto poi conto della seconda rappresentazione sopra riportata, ~~esso~~ è fondamentale studiare ~~il~~ ~~segno~~ le forme quadratiche attraverso le matrici simmetriche ed esse associate:

$$S = \begin{pmatrix} a & b \\ b & c \end{pmatrix}$$

- 1) Se $\det S > 0$ e $a > 0$, ossia se i due autovalori di S sono positivi, dicono che la forma quadratica è definita positiva - Si ha $h(x, y) > 0 \forall (x, y) \neq (0, 0)$
- 2) Se $\det S > 0$ e $a < 0$, ossia se i due autovalori di S sono negativi, dicono che la forma quadratica è definita negativa - Si ha $h(x, y) < 0 \forall (x, y) \neq (0, 0)$

- 3) Se $\det S < 0$, ossia se i due autovettori hanno segno opposto, esisteranno due direzioni passanti per l'origine su cui ha segno opposto e due ulteriori direzioni passanti per l'origine su cui f si annulla.
- 4) Se $\det S = 0$, ossia se almeno uno dei due autovettori di S è nullo, risultano identicamente nulli (entrambi gli autovettori nulli) oppure su una retta passante per l'origine (mentre su tutti gli altri punti assume lo stesso segno). Diamo in tal caso che è semiellittico (positivo o negativo)

Al fine di verificare tali affermazioni, è sufficiente studiare gli autovettori della metà di S .



Siamo ora in grado di studiare il problema dei massimi e minimi.

TEOREMA

Sia $f: \mathbb{R}^2 \rightarrow \mathbb{R}$, \mathcal{C}^2 rispetto a f , $f \in C^2(\mathbb{R})$.

Supponiamo $\nabla f(\bar{x}, \bar{y}) = 0$ in $(\bar{x}, \bar{y}) \in \mathbb{R}^2$.

Allora chiamiamo ~~stazaria~~ matrice hessiana la matrice

$$\begin{matrix} Hf(\bar{x}, \bar{y}) = & \begin{vmatrix} f_{xx} & f_{xy} \\ f_{yx} & f_{yy} \end{vmatrix} \end{matrix}$$

e determinante hessiano Hf il suo determinante.

Risulta allora

- 1) Se $Hf(\bar{x}, \bar{y}) > 0$ e $f_{xx}(\bar{x}, \bar{y}) < 0$, la funzione ha in (\bar{x}, \bar{y}) un massimo locale;
- 2) Se $Hf(\bar{x}, \bar{y}) > 0$ e $f_{xx}(\bar{x}, \bar{y}) > 0$, la funzione ha in (\bar{x}, \bar{y}) un minimo locale;
- 3) Se $Hf(\bar{x}, \bar{y}) < 0$, la funzione non ha né massimo né minimo nel punto (\bar{x}, \bar{y}) .
- 4) Se $Hf(\bar{x}, \bar{y}) = 0$, non si è in grado di stabilire il comportamento delle funzione nel punto (\bar{x}, \bar{y}) .

DIMOSTRAZIONE

Visto che $f \in C^2(\Omega)$, è possibile scrivere le formule di Taylor con resto al secondo ordine e centrata in (\bar{x}, \bar{y}) :

$$f(\bar{x}+h, \bar{y}+k) - f(\bar{x}, \bar{y}) = \frac{1}{2} \begin{bmatrix} h \\ k \end{bmatrix} \begin{pmatrix} f_{xx}(\bar{x}+\theta h, \bar{y}+\theta k) & f_{xy}(\bar{x}+\theta h, \bar{y}+\theta k) \\ f_{xy}(\bar{x}+\theta h, \bar{y}+\theta k) & f_{yy}(\bar{x}+\theta h, \bar{y}+\theta k) \end{pmatrix} \begin{bmatrix} h \\ k \end{bmatrix}$$

con $\theta \in (0, 1)$.

Ossia, se indichiamo che

$$S(\bar{x}, \bar{y}; h, k) = \begin{pmatrix} h \\ k \end{pmatrix} \begin{pmatrix} f_{xx}(\bar{x}, \bar{y}) & f_{xy}(\bar{x}, \bar{y}) \\ f_{xy}(\bar{x}, \bar{y}) & f_{yy}(\bar{x}, \bar{y}) \end{pmatrix} \begin{pmatrix} h \\ k \end{pmatrix},$$

si ha

$$f(\bar{x}+h, \bar{y}+k) - f(\bar{x}, \bar{y}) = S(x, y; h, k)$$

Esaminiamo i due casi.

Nel primo caso, in base alle permanenze del segno, è possibile determinare un intorno circolare di raggio δ , U_δ del punto (\bar{x}, \bar{y}) tale che $A(x, y) \in U_\delta$ si ha

$$\text{Se } A(x, y) \in U_\delta \text{ allora } H_f(x, y) > 0.$$

Inoltre, sempre per le permanenze del segno, $f_{nn}(x, y)$ mantiene il medesimo segno in U_δ .

Pertanto, a seconda dei casi, si ha un massimo o un minimo locale.

Analogamente, nel ~~caso~~^{caso}, ~~abbattendo le coordinate polari:~~ esistono due direzioni \vec{v}_1 e \vec{v}_2 (che possiamo considerare versori) sui quali si ha

$$S(\bar{x} + h \cos \alpha, \bar{y} + k \sin \alpha; \vec{v}_1) \geq 0 \text{ ed } S(\bar{x}, \bar{y}; \vec{v}_2) < 0,$$

Esistono pertanto due angoli α_1 e α_2 per i quali si ha $v_1 = (\cos \alpha_1, \sin \alpha_1)$, $v_2 = (\cos \alpha_2, \sin \alpha_2)$.

Preso allora

$$\begin{cases} h = r \cos \alpha_1 \\ k = r \sin \alpha_2 \end{cases}$$

risulta

$$S(\bar{x} + \theta h, \bar{y} + \theta k; h, k) = r^2 S(\bar{x} + \theta h, \bar{y} + \theta k; \cos \alpha_1, \sin \alpha_1)$$

Di conseguenza, ^{poiché} passando al limite per $r \rightarrow 0^+$ si ottiene

$S(\bar{x}, \bar{y})$

$$\lim_{r \rightarrow 0} S(\bar{x} + \theta h, \bar{y} + \theta k; \cos \alpha_1, \sin \alpha_1) = S(\bar{x}, \bar{y}; \cos \alpha_1, \sin \alpha_1) > 0,$$

per la permanenza del segno si ha anche

$$S(\bar{x} + \theta h, \bar{y} + \theta k; h, k) > 0 \text{ per } r > 0 \text{ suff. piccol.}$$

Analogamente per le direzioni \vec{v}_2 si ottiene

$$S(\bar{x} + \theta h, \bar{y} + \theta k; h, k) < 0$$

ed il punto risulta quindi di sella.

Per quanto riguarda l'osservazione conclusiva, per analogie basta fornire degli esempi.

Esempio 1. $f(x, y) = x^4 + y^4$ ha nell'origine un minimo assoluto (e quasi relativo) nonostante le sue matrice hessiane risultino nulle.

Esempio 2. $f(x, y) = -x^4 - y^4$ ha nell'origine un massimo assoluto (e quasi relativo) nonostante le sue matrice hessiane risultino nulle.

ESEMPIO 3 $f(x,y) = x^4 - y^4$ ha nell'origine un punto di sella (facile da verificare) nonostante la sua matrice hessiana risulti nulla.

Massimi e minimi in più di due variabili

Teorema

Sia $f: S \subset \mathbb{R}^n \rightarrow \mathbb{R}$, S aperto, $f \in C^2(S)$, $n \geq 2$.

Supponiamo $\nabla f(\bar{x}, \bar{y}) = 0$ in $(\bar{x}, \bar{y}) \in S$.

Delta

$$\begin{pmatrix} f_{x_1 x_1} & f_{x_1 x_2} & \cdots & f_{x_1 x_n} \\ f_{x_2 x_1} & f_{x_2 x_2} & & \\ \vdots & & & \\ f_{x_n x_1} & f_{x_n x_2} & \cdots & f_{x_n x_n} \end{pmatrix}$$

la matrice hessiana (simmetrica in base al teorema di Schwarz) e indicata con $Hf(\bar{x}, \bar{y})$ con $\lambda_1, \dots, \lambda_n \in \mathbb{R}$ i suoi autovalori (ripetuti in base alle molteplicità e ordinati, $\lambda_j \leq \lambda_{j+1}$), risulta:

- 1) Se $\lambda_j < 0$ (strettamente negativi) $\forall j$, allora (\bar{x}, \bar{y}) è un massimo locale;
- 2) Se $\lambda_j > 0$ (strettamente positivi) $\forall j$, allora (\bar{x}, \bar{y}) è un minimo locale;
- 3) Se $\lambda_1 < 0$ e $\lambda_n > 0$ (ossia se esiste almeno un autovalore negativo ed almeno un autovalore positivo), allora (\bar{x}, \bar{y}) non è né massimo e né minimo locale (sella).

FUNZIONI IMPLICITE

Sia $f: S \subset \mathbb{R}^2 \rightarrow \mathbb{R}$, S aperto.

Consideriamo l'insieme

$$\{(x,y) \in S : f(x,y) = 0\}$$

ossia l'insieme dei punti del piano nei quali la funzione f si annulla. Ci si pone la seguente domanda: è possibile interpretare f come grafico di una opportuna funzione di una variabile? Vediamo immediatamente, attraverso qualche esempio, che, sebbene in alcuni casi le risposte è affermativa, in generale non lo è.

Esempio 1

Sia $f(x,y) = 2x^2 + y - 5$ definita su tutto \mathbb{R}^2 .

e consideriamo l'insieme

$$\{(x,y) \in \mathbb{R}^2 : f(x,y) = 0\}$$

In tal caso l'insieme considerato corrisponde al grafico della parabola

$$y = \varphi(x) = -2x^2 + 5, \quad x \in \mathbb{R}.$$

Esempio 2

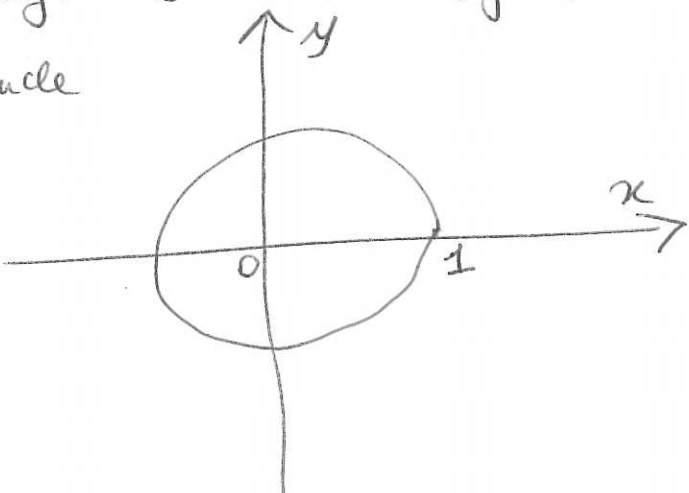
Sia $f(x,y) = x^2 + y^2 - 1$ ~~definita~~, definita su tutto \mathbb{R}^2 e consideriamo l'insieme

$$\{(x,y) \in \mathbb{R}^2 : f(x,y) = 0\}$$

Come è noto, tale insieme rappresenta ~~ella~~ le circosfera unitaria centrata nell'origine (vedi anche figura)

Come è ~~ella~~ evidente ~~a~~ anche nella figura, in tal caso $\forall x \in (-1, 1)$ esistono due valori opposti di y che fanno parte del luogo di z :

$$y = \pm \sqrt{1 - x^2}$$



La presenza di due valori entrambi uno evidenzia l'impossibilità a considerare l'insieme grafico di un'opportuna funzione.

Il problema non lo si risolve scambiando il ruolo fra le due variabili; $\forall y \in (-1, 1)$ esistono due valori opposti di x che fanno parte del luogo di z :

$$x = \pm \sqrt{1 - y^2}.$$

Proviamo ora a porci una domanda più specifica.

Dato l'insieme

$$\mathcal{C} = \{(x, y) \in \mathbb{R}^2 : f(x, y) = 0\},$$

supponiamo che $(\bar{x}, \bar{y}) \in \mathcal{C}$. Ci chiediamo se è possibile ~~esplorare~~ interpretare in un intorno di (\bar{x}, \bar{y}) il nostro luogo di z come grafico di una funzione di una variabile.

Siamo cioè passati dal problema globale a quello locale.

Se esaminiamo il problema precedente ~~nel cerchio~~
~~nel~~ (quello relativo alla circonferenza unitaria) si vede che facilmente che

$$\forall (\bar{x}, \bar{y}) \in C, \bar{y} > 0$$

è possibile esprimere ~~come~~ $y = +\sqrt{1-x^2}$
 C in un suo intorno come

Mentre $\forall \bar{x}, \bar{y} \in C, \bar{y} < 0$, è possibile esprimere C in un suo intorno come

$$y = -\sqrt{1-x^2}$$

Non siamo però in grado di esprimere $y = f(x)$ nell'intorno dei punti $(-1, 0)$ e $(1, 0)$, in quanto per tali punti ~~l'intero~~ le richieste nell'intorno del punto non limita il problema in un solo semipiano $y < 0$ oppure $y > 0$.

D'altra parte, però, dovunque $\bar{x} < 0$ è possibile esprimere

$$x = -\sqrt{1-y^2}$$

Così come, dove $\bar{x} > 0$, è possibile esprimere

$$x = +\sqrt{1-y^2}$$

In definitiva, almeno nel caso delle circonferenze unitarie, $\forall (\bar{x}, \bar{y}) \in C$, esiste sempre un intorno $U(\bar{x}, \bar{y})$ nel quale ~~esiste una~~

è possibile esplicare almeno una variabile in funzione dell'altre, ossia interpretare localmente il luogo di zeri come grafico di ~~f(x)~~ una funzione di una variabile.

E' utile osservare che è opportuno aggiungere una richiesta relativa alle ~~funzioni~~ le regolari della funzione da esplicare: se la funzione $f \in C(\mathbb{R})$, allora sulla il luogo di zeri sarà un insieme che è ragionevole richiedere che sulla il luogo di zeri sia localmente grafico di una funzione continua.

Vale in tale contesto il risultato seguente

TEOREMA DI DINI (I PARTE, ESISTENZA E UNICITÀ)

$f: \mathcal{D} \subset \mathbb{R}^2 \rightarrow \mathbb{R}$, \mathcal{D} aperto, $f \in C(\mathcal{D})$,
 $f_y \in C(\mathcal{D})$. Sia $(x_0, y_0) \in \mathcal{D}$ e appartenente
al luogo di zeri della f :

$$\mathcal{C} = \{(x, y) \in \mathcal{D} : f(x, y) = 0\},$$

e supponiamo

$f_y(x_0, y_0) \neq 0$. Allora è possibile determinare

$\exists U(x_0)$, $\exists V(y_0)$ ed $\exists \varphi: U \rightarrow V$

$\varphi \in C(U)$ t.c. $f(x, \varphi(x)) = 0 \quad \forall x \in U(x_0)$

Vale poi il seguente risultato relativo alle regolarità delle funzioni φ .

TEOREMA DI DINI (II PARTE, REGOLARITÀ)

Fermate tenendo le ipotesi del teorema precedente, supponiamo che ~~$f \in C^k(\Omega)$~~ , con $k \geq 1$. Allora la funzione $\varphi \in C^k(\Omega)$.

Si ha inoltre

$$\varphi'(x) = - \frac{f_x(x, \varphi(x))}{f_y(x, \varphi(x))} \quad \forall x \in U$$

ed in particolare

$$\varphi'(x_0) = - \frac{f_x(x_0, y_0)}{f_y(x_0, y_0)}$$

OSSERVAZIONE. Nei due teoremi sopra enunciati è possibile scambiare il ruolo delle due variabili. Pertanto, se si ha $f_y(x_0, y_0) = 0$, è opportuno verificare se $f_x(x_0, y_0) \neq 0$ in modo da scambiare il ruolo degli estremi.

Di conseguente, al fine dell'esplorazione intorno ad un punto (x_0, y_0) che fa parte del luogo di zeri della f , si tratta di verificare che $Df(x_0, y_0) \neq 0$. Nel caso affermativo il luogo di zeri è localmente un grafico cartesiano.

Diremo in tal caso che il punto è regolare.

In caso contrario lo definiremo singolare.

~~Punto singolare~~ È possibile notare, attraverso vari esempi, che nell'intorno di un punto singolare possono presentarsi le situazioni più disparate.

ESEMPIO 1. Sia $f(x,y) = x^2 - y^2$

e consideriamo l'insieme

$$\{(x,y) \in \mathbb{R}^2 : f(x,y) = 0\}$$

Prendiamo $P = (0,0)$. E' facile vedere che l'insieme consiste delle due bisettrici che escono da P , perpendicolari fra loro. Quindi, anche geometricamente, è evidente che non è possibile esplorare una qualunque delle due curve in funzione dell'altra. D'altra parte, il punto P è singolare.

ESEMPIO 2 Sia $f(x,y) = (x^2 + y^2 - 1)^2$ e ~~sia~~ si consideri l'insieme

$$\{(x,y) \in \mathbb{R}^2 : f(x,y) = 0\}$$

Preso un qualunque punto P nell'insieme, ~~se~~ si ha

$$\nabla_x f = 2(x^2 + y^2 - 1) \cdot 2x$$

$$\nabla_y f = 2(x^2 + y^2 - 1) \cdot 2y$$

che valgono zero nel punto P .

Quindi, tutti i punti dell'insieme sono singolari.

D'altra parte, l'insieme luogo di zeta è la classica circonferenza unitaria, per cui sappiamo che è localmente espliabile, almeno rispetto ad una delle sue variabili. Il problema è in questo caso, dunque, soltanto tecnico ma non effettivo.

OSSERVAZIONE CONCLUSIVA

Il risultato presentato in questo paragrafo (teorema di Dini) consiste perciò, sotto l'ipotesi che il punto preso in considerazione sul luogo di zeta sia regolare, in un risultato di esistenza. Tuttavia il teorema non è in grado di fornire, nel caso generale, la funtione di esplicitamente la funzione di cui il luogo di zeta è grafico. In effetti, però, se le funzioni $f \in C^k(\mathbb{R})$, come si è visto nel teorema di regolarità, è possibile stabilire che anche $\varphi \in C^k(U)$. Inoltre, in analogia al calcolo delle derivate prime (vedi risultato riportato nel teorema) è possibile calcolare le varie derivate successive in P fino all'ordine K, potendo in questo modo esprimere lo sviluppo di Taylor delle funzioni φ fino all'ordine desiderato.

Vedremo tale calcolo su un esempio.

TEOREMA DI DINI (caso n-dimensionale)

Sia $f: \Omega \subset \mathbb{R}^n \rightarrow \mathbb{R}$, Ω aperto, $f \in C^k(\Omega)$, $f_{x_n} \in C^0(\Omega)$.
 (nel caso in cui $k \geq 1$ l'ipotesi sulla derivata parziale f_{x_n} è superflua), $k \geq 0$.

Sia $x^0 \in \Omega$ e appartenente al luogo di zeri delle f :

$$C = \{x \in \Omega : f(x) = 0\}$$

e supponiamo $f_{x_n}(x^0) \neq 0$. Allora

$\exists U(x_1^0, \dots, x_{n-1}^0) \subset \mathbb{R}^{n-1}$, $\exists V(x_n^0) \subset \mathbb{R}$ ed

$\exists \varphi: U \rightarrow V$, $\varphi \in C^k(U)$ t.c.

$$f(x_1, \dots, x_{n-1}, \varphi(x_1, \dots, x_n)) = 0 \quad \text{tutte}$$

$$\forall (x_1, \dots, x_{n-1}) \in U.$$

Inoltre, se $k \geq 1$, si ha

$$\nabla \varphi(x_1, \dots, x_{n-1}) = \left(-\frac{f_{x_1}}{f_{x_n}}, \dots, -\frac{f_{x_{n-1}}}{f_{x_n}} \right) (x_1, \dots, x_{n-1}, \varphi(\dots))$$

e, in particolare,

$$\nabla \varphi(x_1^0, \dots, x_{n-1}^0) = \left(-\frac{f_{x_1}}{f_{x_n}}, \dots, -\frac{f_{x_{n-1}}}{f_{x_n}} \right) (x_1^0, \dots, x_n^0).$$

FUNZIONI IMPLICITE : GENERALIZZAZIONE

A completamento di quanto prima visto a proposito del teorema di Dini, presentiamo ora una generalizzazione al caso dei sistemi. L'obiettivo è quello di stabilire, sotto quegli ~~assiomi~~, dato un sistema non lineare del tipo

$$\left\{ \begin{array}{l} f_1(x_1, \dots, x_n; y_1, \dots, y_m) = 0 \\ \vdots \\ f_m(x_1, \dots, x_n; y_1, \dots, y_m) = 0 \end{array} \right.$$

supposto che $P = (x^0, y^0)$ ~~faccia sia soluzione~~,
 $x^0 \in (x_1^0, \dots, x_n^0)$ ~~esiste~~
ovvero, in forma compatta,

$$f(x, y) = 0,$$

dove

$$f = (f_1, \dots, f_m),$$

$$(x, y) = (x_1, \dots, x_n; y_1, \dots, y_m),$$

supposto che $P = (x^0, y^0)$ sia soluzione, sotto quegli ~~assiomi~~ ~~che fanno soluzioni in un~~ intorno di P è possibile esplicitare le m -variabili y in funzione delle ~~ma~~ n variabili x ?

Il risultato che stiamo cercando, oltre che essere una generalizzazione di quanto visto per il teorema di Dini, può essere visto come versione non lineare di quanto trovato nel caso dei sistemi lineari attraverso le teore

dell'algebra lineare che qui richiamiamo.
Dato il sistema lineare

$$\left\{ \begin{array}{l} a_{11}x_1 + \dots + a_{1n}x_n + b_{11}y_1 + \dots + b_{1m}y_m = 0 \\ \vdots \\ a_{m1}x_1 + \dots + a_{mn}x_n + b_{m1}y_1 + \dots + b_{mm}y_m = 0 \end{array} \right.$$

stesse, se anche la sua

sotto quali condizioni è possibile esplicitare le m -variabili
in funzione delle restanti n ?

Seppiamo che le risposte a tali domande è date dal teorema di Roaché Capelli, in base al quale è condizione
necessaria e sufficiente che esista un minore di ordine
massimo, ossia m . Supponiamo in particolare che negli
ultimi m le colonne che devono luogo ad un minore
invertibile: in tal caso sarà possibile esplicitare le variabili
 m in funzione delle variabili n .

Nello specifico, se indichiamo con

$$A = \begin{pmatrix} a_{11} & \dots & a_{1m} \\ \vdots & & \vdots \\ a_{m1} & \dots & a_{mm} \end{pmatrix}, \quad B = \begin{pmatrix} b_{11} & \dots & b_{1m} \\ \vdots & & \vdots \\ b_{m1} & \dots & b_{mm} \end{pmatrix}$$

il sistema lineare può essere scritto nella forma

$$Ax + By = 0$$

e se qui è possibile ~~risolvere~~ risolvere rispetto a y :

$$By = -An$$

$$B^{-1}By = B^{-1}(-An)$$

$$y = -B^{-1}An$$

e, visto che B è invertibile (visto che abbiamo detto che n è tale di un minore di rango massimo)

che è la soluzione del sistema (corrispondente alle regole di Kramer).

Nel caso non lineare, se si ~~possiede~~ ~~è~~ ~~possibile~~ suppone che $g \in C^1(\mathbb{R})$, $\Omega \subset \mathbb{R}^{n+m}$ aperto, $(x^*, y^*) \in \Omega$,

il sistema non lineare $g(u, y) = 0$ può essere riscritto nella forma

~~$$D_x g(x^*, y^*) (x - x^*) + D_y g(x^*, y^*) (y - y^*) + \\ + o(|(x - x^*, y - y^*)|) = 0,$$~~

dove

$$D_x g(x^*, y^*) = \left(\begin{array}{c} \frac{\partial g_1}{\partial x_1}(x^*, y^*) \quad \cdots \quad \frac{\partial g_1}{\partial x_n}(x^*, y^*) \\ \vdots \\ \frac{\partial g_m}{\partial x_1}(x^*, y^*) \quad \cdots \quad \frac{\partial g_m}{\partial x_n}(x^*, y^*) \end{array} \right)$$

$$D_y g(x^*, y^*) = \left(\begin{array}{c} \frac{\partial g_1}{\partial y_1}(x^*, y^*) \quad \cdots \quad \frac{\partial g_1}{\partial y_m}(x^*, y^*) \\ \vdots \\ \frac{\partial g_m}{\partial y_1}(x^*, y^*) \quad \cdots \quad \frac{\partial g_m}{\partial y_m}(x^*, y^*) \end{array} \right)$$

Se si trascurano gli infinitesimi di ordine superiore al primo
e se

$$\det D_y g(x^*, y^*) \neq 0,$$

allora se

$$D_y g(x^*, y^*) (y - y^*) = -D_x g(x^*, y^*) (x - x^*),$$

~~essendo~~ si ottiene

$$y = y^* - [D_y g(x^*, y^*)]^{-1} [D_x g(x^*, y^*)] (x - x^*).$$

Ovviamente il conto appena effettuato, trascurando i termini
di ordine superiore al lineare, è esattamente l'anelogo rispetto
a quello svolto nel caso dei sistemi lineari attraverso le regole
di Kramer.

Si tratta, edesso, di ottenere un risultato, analogo al teorema di Dini,
che vada nella direzione del risultato che si ottiene "linearizzando"
(ovvero il conto prima svolto trascurando i termini di ordine superiore
rispetto ai termini lineari).

TEOREMA DELLE FUNZIONI IMPLICITE

Sia $f: \mathcal{S} \subset \mathbb{R}_x^n \times \mathbb{R}_y^m \rightarrow \mathbb{R}^m$, \mathcal{S} aperto, $f \in C^K(\mathcal{S})$, $K \geq 1$ e supponiamo che $\exists (x^*, y^*) \in \mathcal{S}$
tale che $f(x^*, y^*) = 0$ e $\det D_y f(x^*, y^*) \neq 0$.

Allora $\exists U = U(x^*) \subset \mathbb{R}^n$ intorno di x^* ,
 $\exists V = V(y^*) \subset \mathbb{R}^m$ intorno di y^* ed
 $\exists \varphi: U(x^*) \rightarrow V(y^*)$, $\varphi \in C^K(U(x^*))$
tale che $f(x, \varphi(x)) = 0 \quad \forall x \in U(x^*)$.

Inoltre vale le formule seguenti per la matrice jacobiana di ~~φ~~ φ :

$$\cancel{D\varphi(x) = - \left[D_y f(x, \varphi(x)) \right]^{-1} \left[D_x f(x, \varphi(x)) \right]} \quad \forall x \in U(x^0)$$

ed, in particolare,

$$D\varphi(x^0) = - \left[D_y f(x^0; y^0) \right]^{-1} \left[D_x f(x^0; y^0) \right].$$

OSSERVAZIONE

Nel caso in cui la $f \in C(\Omega)$, ~~per~~ nel caso $n=1, m=1$, ricordiamo che il teorema di Dini ammetteva ugualmente il risultato di esistenza, ~~ovunque~~, senza il risultato relativo alle formule per le derivate delle φ_{jk} , visto che $\varphi \in C(\Omega)$. Stesse cose vale in questo caso, ossia il risultato precedente continua a valere generalizzando $\exists! \varphi \in C(U)$.

CURVE E LORO LUNGHEZZA

La trattazione relativa alle curve che viene qui proposta è orientata ~~soprattutto~~ principalmente ai suoi aspetti analitici. Si assume che gli studenti siano già familiari con gli aspetti cinematici legati al moto di una particella nello spazio ed alle sue leggi orarie.

DEFINIZIONE - Definiamo curva nello spazio una coppia (γ, r) , dove $\gamma \subset \mathbb{R}^3$ è il supporto delle curve ed $r = r(t)$ le sue parametrizzazioni,

$r: I \subset \mathbb{R} \longrightarrow \mathbb{R}^3$, I intervallo delle rette in cui vengono il perimetro t e t.c. $r(I) = \gamma$ (ovvero γ coincide con l'immagine di I tramite r). Assumeremo qui che la parametrizzazione è continua, $r \in C(I)$.

Riferendosi ~~soprattutto~~ all'esperienza in ambito cinematico, ~~soprattutto~~ il supporto γ corrisponde alle traiettorie, mentre la parametrizzazione $r = r(t) = (x(t), y(t), z(t))$ corrisponde alla legge oraria della particella oggetto di studio al vario del tempo $t \in I$, dove I è l'intervallo di tempo preso in esame.

Introduciamo ora le terminologie minime per ~~poter~~ ~~arrivare~~ giungere al concetto di lunghezza di una curva.

- i) Parleremo di curve chiuse se la parametrizzazione assume lo stesso valore ai due estremi delle parametrizzazioni: ~~che~~ $r: [a, b] \subset \mathbb{R} \longrightarrow \mathbb{R}^3$ e $r(a) = r(b)$.

- 2) Diciamo che la curva (γ, r) è semplice se r risulta iniettiva (ad eccezione, eventualmente, dei punti estremi delle parametrizzazioni): $\forall t_1, t_2 \in I$, ~~se~~ $t_1 \neq t_2$, si ha $r(t_1) \neq r(t_2)$.
- 3) Diciamo che una curva è piana se il suo supporto è contenuto su un piano.
- 4) Diciamo che la curva (γ, r) è regolare se $r \in C^1(I)$ e se $\dot{r}(t) \neq 0 \quad \forall t \in I$.

Diciamo poi che (γ, r) è regolare a tratti se l'intervallo I può essere suddiviso in un numero finito di intervalli su ciascuno dei quali γ è regolare.

Tornando agli aspetti cinematici, se $r \in C^1(I)$, il vettore $\dot{r}(t)$ rappresenta le velocità istantanee che risultano un vettore ~~non~~ tangente alla traiettoria stessa. Possiamo inoltre definire le velocità scalare date da

$$\|\dot{r}(t)\| = \sqrt{(\dot{x}(t))^2 + (\dot{y}(t))^2 + (\dot{z}(t))^2}$$

Nel caso in cui $\|\dot{r}(t)\| \neq 0$, è possibile poi definire il versore velocità

$$T(t) = \frac{\dot{r}(t)}{\|\dot{r}(t)\|}$$

che rappresentano i coseni direttori delle rette tangente alla traiettoria.

Nel caso in cui $r \in C^2(I)$, è possibile poi

definire anche

i) il vettore ~~scelto~~ $\ddot{r}(t)$ accelerazione

ii) il versore normale principale $N(t) = \frac{\dot{T}(t)}{\|\dot{T}(t)\|}$

osserviamo che, in generale il vettore accelerazione non è diretto come il versore normale principale.

Si definisce, infine, il versore binormale come

$$B = T \wedge N$$

detto versore binormale.

I tre vettori T, N e B costituiscono una triade ortonormale che si muove lungo il supporto della curva con le stesse stesse $\tau(t)$ e che ha le stesse orientazioni delle treni destrose i, j, k . La triade T, N, B prende il nome di tria intrinseca della curva.

5) E' importante per il seguito introdurre il concetto di curve equivalenti.

Date due curve (γ_1, r_1) e (γ_2, r_2) , diremo che esse sono equivalenti se hanno lo stesso supporto $\gamma = \gamma_1 = \gamma_2$ e le loro parametrizzazioni

$$r_1: I_1 \rightarrow \mathbb{R}^3, \quad r_2: I_2 \rightarrow \mathbb{R}^3$$

sono legate da un cambio di variabili $\psi: I_2 \rightarrow I_1$
Ovvero il diagramma seguente è commutativo:

$$\begin{array}{ccc} I_1 & \xrightarrow{\gamma_1} & \gamma_1 \\ \uparrow \psi & & \parallel \\ I_2 & \xrightarrow{\gamma_2} & \gamma_2 \end{array}$$

$$r_2 = r_1 \circ \psi \quad \text{ovvero} \quad \gamma_1 = \gamma_2 \circ \psi^{-1}.$$

Se (γ_1, r_1) e (γ_2, r_2) sono orientate,
~~se la parametrizzazione è inversa~~ diremo che le due curve

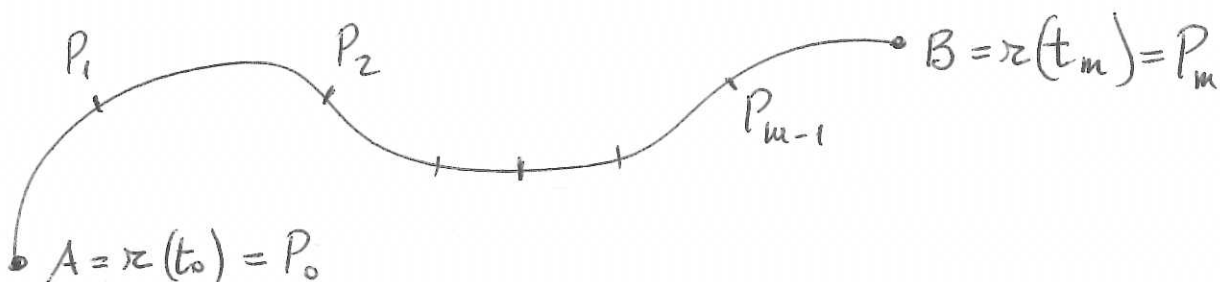
Sono ~~definitamente~~ equivalenti se, oltre a quanto detto prima, ~~esso~~ risulta γ risulta monotona crescente.

Del punto di vista cinematico, due curve equivalenti corrispondono a due curve che hanno lo stesso supporto ma le cui leggi orarie si ottengono l'una dall'altra ^{attraverso} ~~con~~ un cambio di velocità.

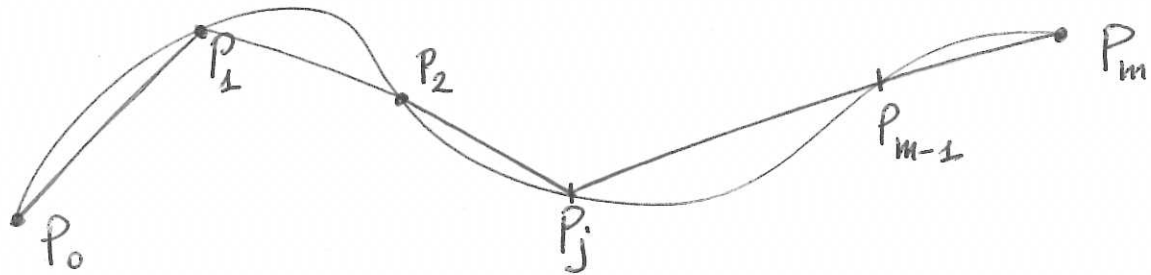
Veniamo ora al problema ~~della~~ del come misurare le lunghezze di un dato supporto di una curva. Il concetto di lunghezza di un supporto va definito. Si assume il momento di ~~osservazione~~ per misurare le lunghezze ~~può~~ solo per un segmento (o per l'unione di segmenti, ovvero una spazzata). La definizione di lunghezza delle giungere dovrebbe generalizzare quelle note per le lunghezze di un segmento ed essere in accordo con quanto abitualmente utilizzato nelle pratiche: se si percorre un percorso ~~la~~ (anche curvilineo) ~~attraversando~~ a velocità costante ~~esercisendo~~ impiega per esempio 60 Km/h e ci si impinge esattamente un'ora, la lunghezza del percorso è 60 Km.

Note la legge oraria $r(t)$, allora è nota anche la Velocità (istantanea) $|r'(t)|$, ma non è automatico risalire alle lunghezze del percorso.

Consideriamo la curva (γ, r) , con $\gamma \subset \mathbb{R}^3$ ed $r: I = [a, b] \rightarrow \mathbb{R}^3$, $r(I) = \gamma$, $r \in C(I)$. Prese una suddivisione $\mathcal{T} = \{a = t_0, t_1, \dots, t_m = b\}$ dell'intervallo $[a, b]$ con $t_j < t_{j+1}$ $\forall j$, consideriamo i punti $P_j = r(t_j)$ sul supporto



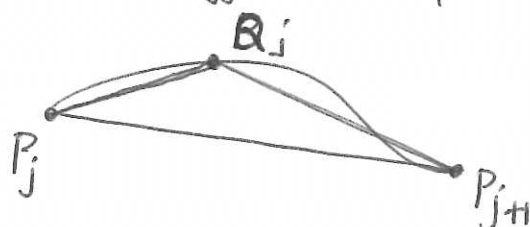
Consideriamo le sprette inscritte nelle curve ottenute, unendo fra loro, i ~~stessi~~ punti (in ordine)



La lunghezza delle sprette è data da

$$l_\gamma = \sum_{j=0}^m |P_{j+1} - P_j| = \sum_{j=0}^m |\gamma(t_{j+1}) - \gamma(t_j)|$$

E' evidente che, se si aggiunge un ulteriore punto (non mutando le posizioni di tutti gli altri), la lunghezza delle nuove sprette così ottenute è maggiore delle precedenti, visto che si è creato un



triangolo nel quale, come sempre, ogni lato ha lunghezza maggiore degli altri due: $|P_{j+1} - P_j| \leq |P_j - Q_j| + |Q_j - P_{j+1}|$.

DEFINIZIONE (rettificabilità)

Diamo che la curva (γ, \mathcal{Z}) è rettificabile se

$$\sup_{\mathcal{Z}} l_\gamma < +\infty$$

si vengono di tutte le possibili sprette \mathcal{T} che si appoggiano ~~sulla~~ al supporto γ .

Se $\sup_{\mathcal{Z}} l_\gamma = +\infty$, si dice che la curva (γ, \mathcal{Z}) è non rettificabile.

DEFINIZIONE (Lunghezza della curva)

Se la curva (γ, r) è rettificabile, definiamo sue lunghezze

$$|\gamma| = \sup_{\mathcal{T}} l_{\gamma}$$

al venire di tutte le possibili spartite \mathcal{T} che si appoggiano al supporto γ .

Il teorema seguente ci segnala una classe importante di curve rettificabili.

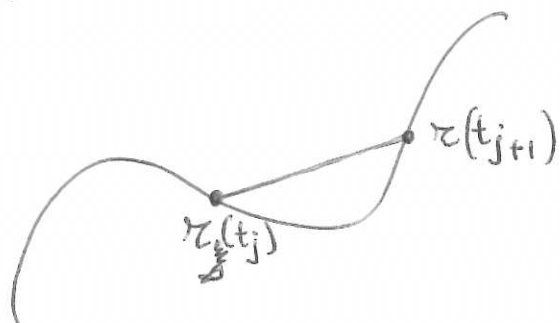
TEOREMA (rettificabilità delle curve con parametrizzazione C^1).

Sia (γ, r) , $\gamma \subset \mathbb{R}^3$, $r \in C^1([a, b])$ una curva.

Allora è rettificabile e la lunghezza della curva è data dalla formula

$$|\gamma| = \int_a^b |\dot{r}(t)| dt$$

IDEA DELLA DIMOSTRAZIONE



La lunghezza del segmento, in base alle formule di Taylor al 1° ordine, è data da

$$|r(t_{j+1}) - r(t_j)| = \boxed{|\dot{r}(\bar{t})| |t_{j+1} - t_j|}, \text{ con}$$

\bar{t} nell'intervallo (t_j, t_{j+1}) .

Se le suddivisioni del segmento $[a, b]$ sono fatte a livello infinitesimo, allora $t_{j+1} = t_j + dt$ ed il punto \bar{t} è a quell punto tra i due punti infinitamente vicini t_j, t_{j+1} .

La lunghezza $|dr|$ del tratto di curva è quindi $(dr) = |\dot{r}(t)| dt$.

Pensando all'intero supporto delle curve si ottiene le formule del teorema.

Ovviamente, le formule trovate vale per ogni f curve con parametrizzazione di classe $C^1([a, b])$.